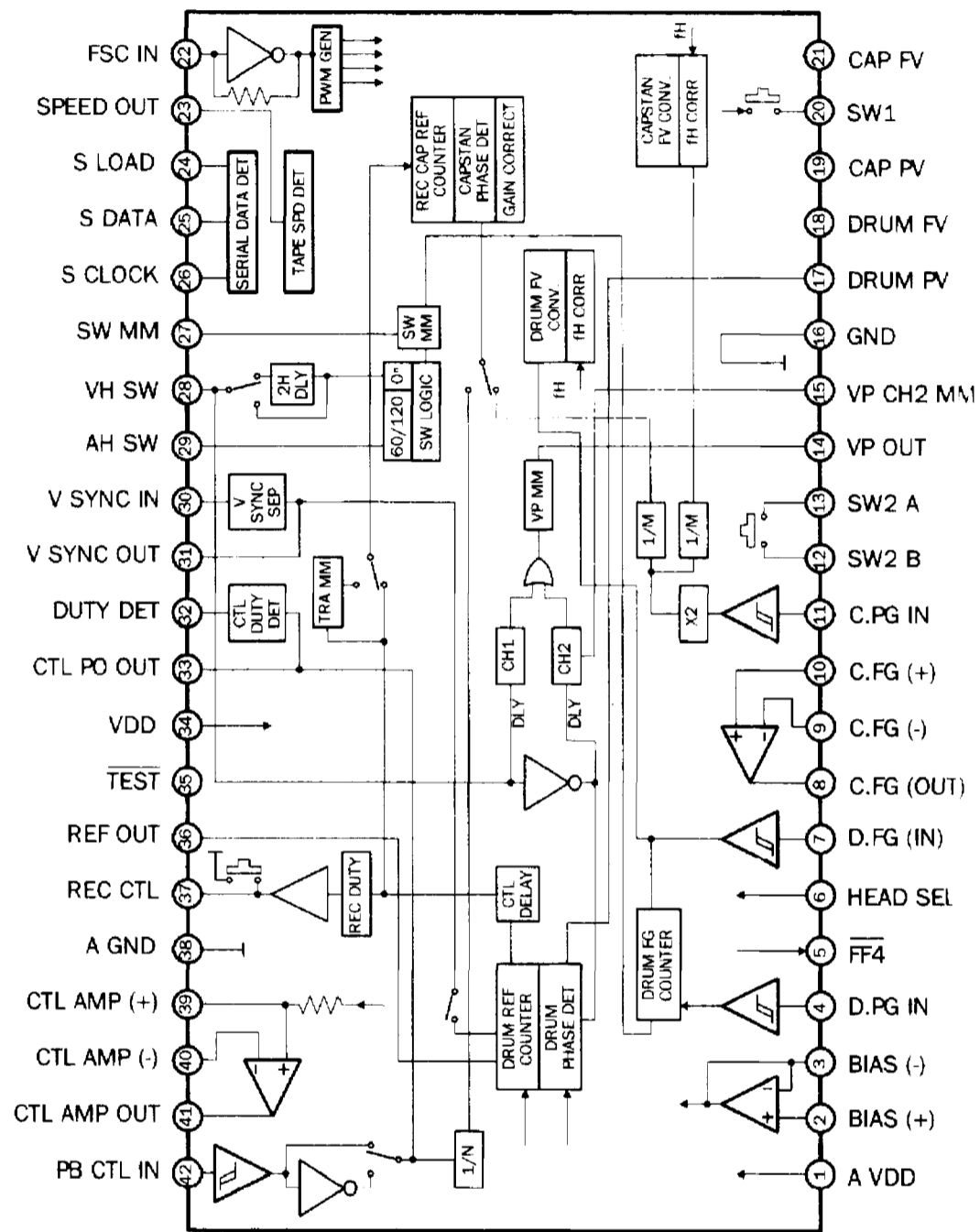
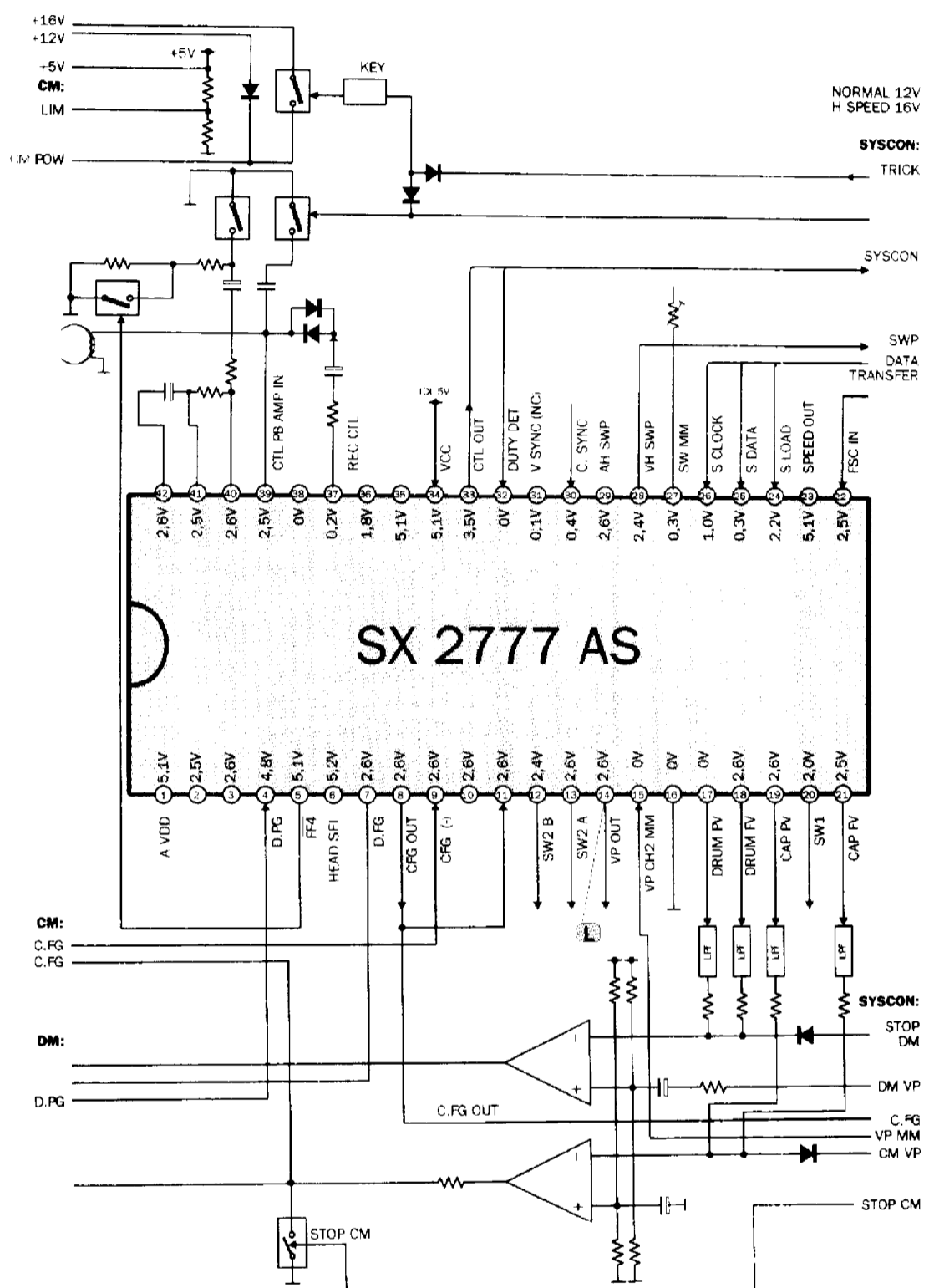


## **SX 2777 AS**

Układ scalony dużej skali integracji SX 2777 AS jest procesorem *servo* zastosowanym w magnetowidach AKAI VS 422 EOH, AKAI VS 425 M/EOG/EOH, AKAI VS 427 EK, AKAI VS 467 EK, AKAI VS 485 EK, AKAI VS 765 EA/EK/EM/EO/EOH/ES, AKAI VS 767 EK/EOG/EOG-V i pochodnych. Sterowany jest z układu  $\mu$ PD 751108 CW A54 *system control*, poprzez układy M 51171 FP lub TA 8424 F, nadzoruje i steruje obrotami silnika *drum motor* (sygnały błędów podawane są poprzez wzmacniacze operacyjne A 15218 N), a poprzez LB 1807 *capstan motor*. Taktowany jest zegarem o częstotliwości 4,43 MHz. Zasilany jest napięciem stabilizowanym 5 V.



Rys. 63. Struktura blokowa i wyprowadzenia układu scalonego SX 2777 AS



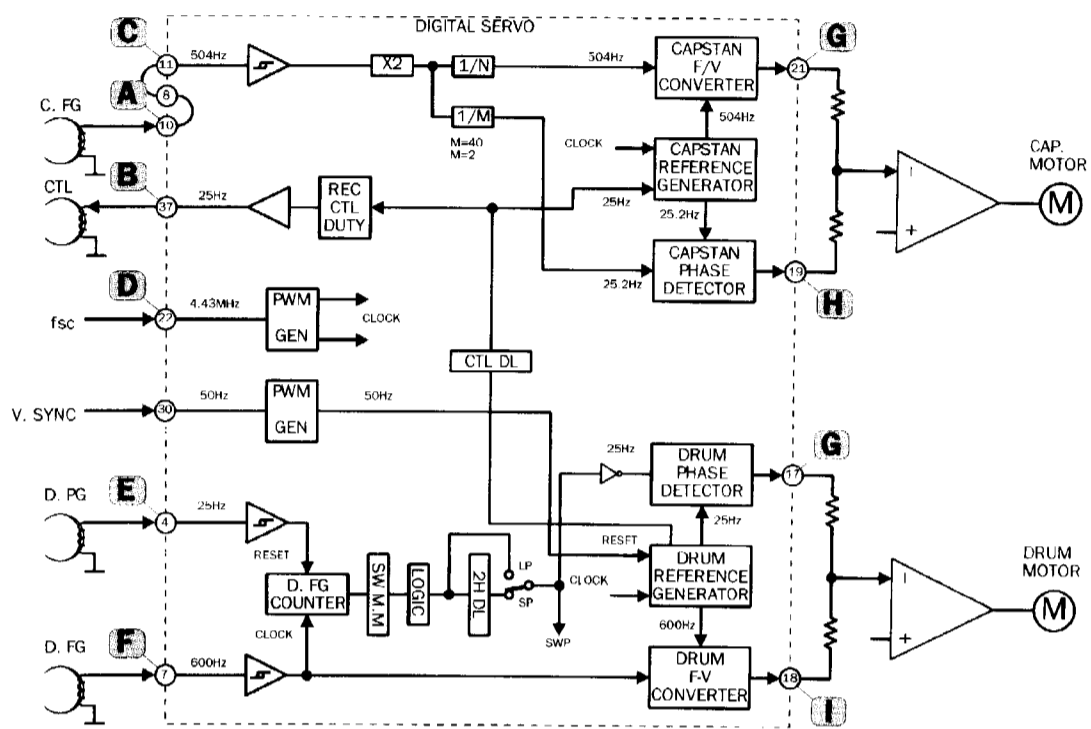
Rys. 64. Uproszczona aplikacja i napięcia stałe na wyprowadzeniach u. s. SX 2777 AS

Tab. 1. Opis wyprowadzeń układu scalonego SX 2777 AS

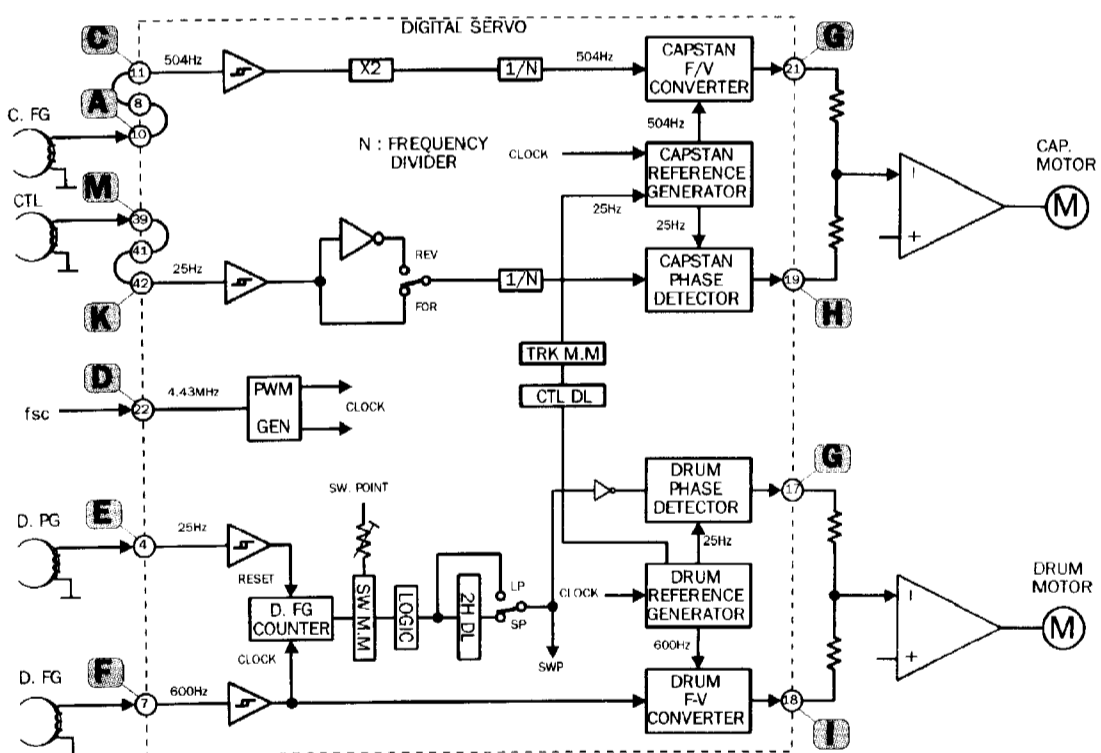
Lp	Symbol		Opis
1	A VDD	WE	Zasilanie układu scalonego + 5 V
2	BIAS (+)	WE	Przełączanie głowicy synchronizacyjnej
3	BIAS (-)	WE	Przełączanie głowicy synchronizacyjnej – nie podłączone (N/P)
4	D.PG	WE	Wejście sygnału z czujnika <i>drum phase generator</i> na układ formowania impulsu
5	FF 4 NEG	WY	Wyjście sygnału podczas pracy trikowej
6	HEAD SEL	WE	Wej. przełącznika głowic (H – 2 głowice, L – 3 lub 4 głowice)
7	D.FG	WE	Wej. syg. z czujnika <i>drum frequency generator</i>
8	C.FG	WY	Wyj. syg. <i>capstan frequency generator</i> po wzmocnieniu
9	C.FG(-)	WE	Wejście sygnału z czujnika <i>capstan frequency generator</i>
10	C.FG (+)	WE	Wejście sygnału z czujnika <i>capstan frequency generator</i>
11	C.PG	WE	Wejście sygnału z czujnika <i>capstan phase generator</i>
12	SW 2 B	WY	Wyprowadzenie klucza elektronicznego
13	SW 1 A	WY	Wyprowadzenie klucza elektronicznego
14	VP	WY	Wyjście impulsu synchronizacji pionowej o $T=3 H (192 \mu s)$
15	VP CH2 MM	WE	Wejście sygnału synchronizacji pionowej z SYSCON
16	GND		Masa układu
17	DRUM PV	WY	Wyjście sygnału błędu z <i>drum phase detector</i>
18	DRUM FV	WY	Wyj. napięcia błędu z przetwornika częstotliwość/napięcie
19	CAP PV	WY	Wyj. nap. błędu z ukł. porównania <i>capstan phase detector</i>
20	SW 1	WY	Wyprowadzenie klucza elektronicznego
21	CAP FV	WY	Wyjście syg. błędu z przetwornika częstotliwość/napięcie
22	F SC	WE	Wej. syg. taktującego koloru 4,43 MHz

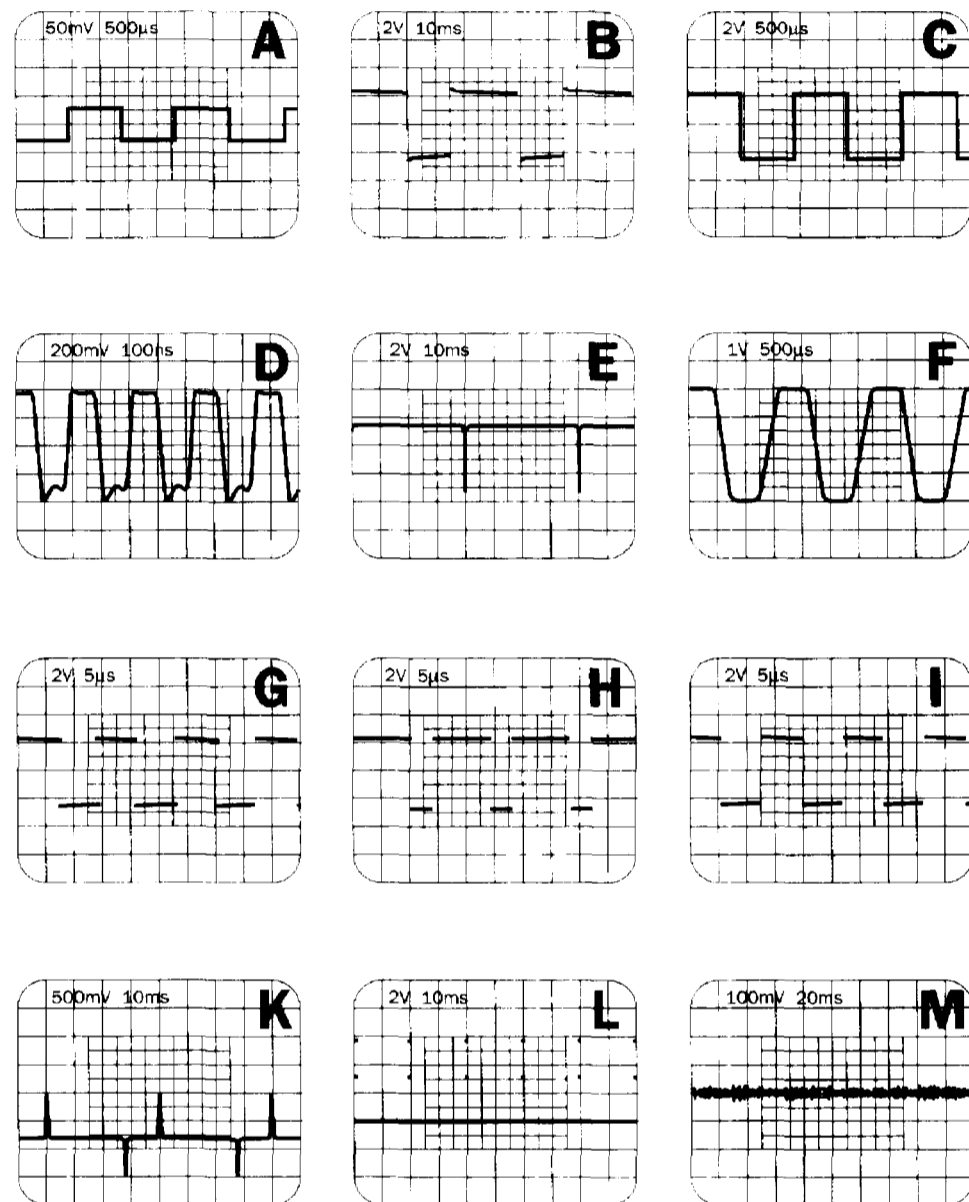
Lp	Symbol		Opis
23	SPEED; H=SP,L=LP	WE	Wejście sygnału określające prędkość przesuwu taśmy
24	S LOAD	WE	Wejście sygnału z magistrali sterowania
25	S DATA	WE	Wejście sygnału z magistrali sterowania
26	S CLOCK	WE	Wejście sygnału z magistrali sterowania
27	SW MM	WE	Regulacja fazy <i>drum motor</i> przy odtwarzaniu
28	VH SW	WY	Wyjście impulsu przełącznika głowic wizyjnych
29	AH SW	WE	Wejście sygnału przełącznika głowic - (NP)
30	V SYNC	WE	Wejście sygnału video do separatora impulsu synchronizacji pionowej
31	V SYNC	WY	Wyjście impulsu synchronizacji pionowej - (NP)
32	DUTY DET	WE	Wejście detektora sygnału CTL
33	CTL PO	WY	Wyjście sygnału CTL
34	VDD	WE	Zasilanie układu scalonego +5V
35	TEST NEG	WE	Testowanie układu - (NP)
36	REF	WY	Wyjście napięcia odniesienia dla silnika <i>drum motor</i> - (NP)
37	REC CTL	WY	Wyjście impulsów CTL do zapisu na taśmę
38	A GND		Masa układu
39	CTL AMP(+)	WE	Wejście sygnału z głowicy CTL
40	CTL AMP(-)	WE	Wejście sygnału z głowicy CTL
41	CTL AMP	WY	Wyjście sygnału CTL po wzmacnieniu
42	PB CTL	WE	Wejście sygnału z głowicy CTL do formowania

Rys. 65. Uproszczona struktura blokowa pracy u.s. SX 2777 AS podczas zapisu



Rys. 66. Uproszczona str. blokowa pracy u.s. SX 2777 AS podczas odtwarzania





Rys. 67. Ważniejsze oscylogramy u.s. SX 2777 AS przy zapisie i odtwarzaniu

Rys. 68. Miejsce u. s. SX 2777 AS w strukturze blokowej magnetowidu

